

H19.09.22 日本物理学会 第62回年次大会  
北海道大学札幌キャンパス

# 入射核破砕片の運動量分布 の系統性

---

高知工科大学：百田佐多生，野尻洋一  
放医研：金澤光隆，北川敦志，佐藤真二

# 研究の目的

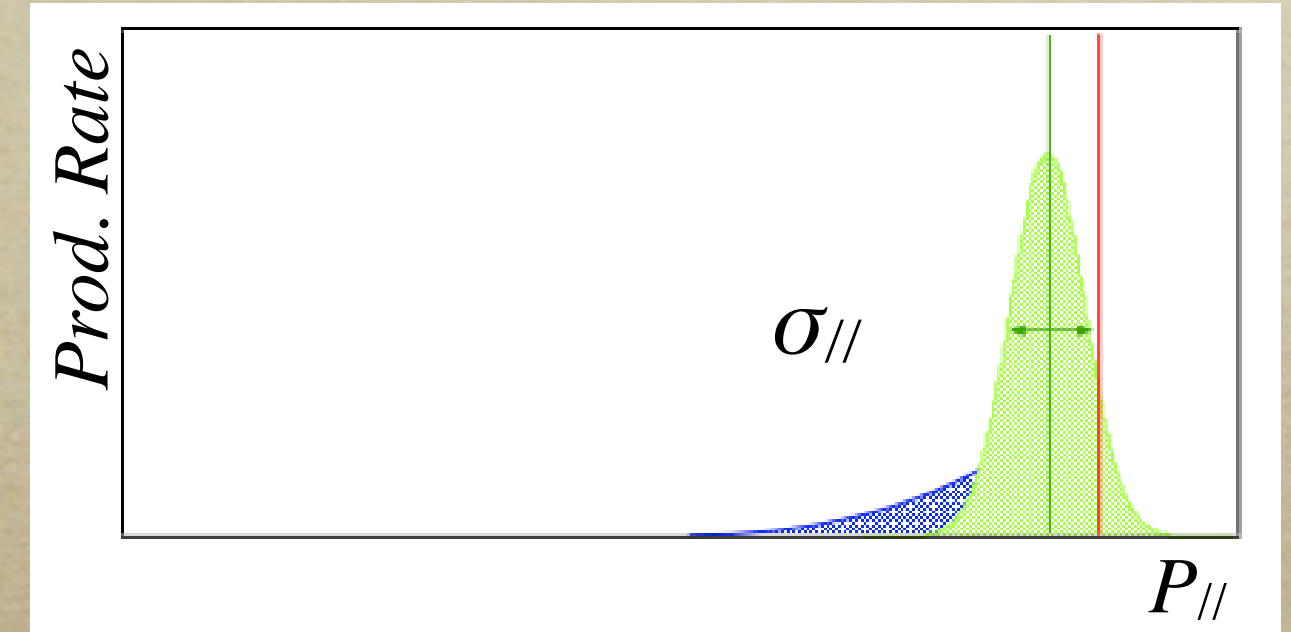
---

破碎片の運動量分布（生成断面積）

- 破碎片生成過程のメカニズム
  - 運動量分布 → 反応に関与する相互作用
  - 生成断面積 → 核構造効果
- 核データ
  - 二次ビーム強度の予測
  - 照射効果の評価 (*Ex.* がん治療)

# 破碎片の運動量分布: $P_{//}$

- Goldhaber模型  
フェルミ運動量( $P_F$ )による広がり



$$\sigma_{//} = \sigma_{GH}$$

$$\sigma_{GH} = \sigma_0 \sqrt{\frac{A_F(A_P - A_F)}{A_P - 1}}$$

- $E_i \geq 1 \text{ GeV/u}$   
 $\sigma_0 \sim \frac{P_F}{\sqrt{5}} \sim 112 \text{ (MeV/c)}$
- $E_i \sim 100 \text{ MeV/u}$   
 $\sigma_0 \sim 95 \text{ (MeV/c)}$

# 破碎片の運動量分布: $P_\perp$

$$E \geq 1 \text{ GeV}/c : \sigma_\perp \sim \sigma_{\parallel}$$

中間エネルギー( $\sim 100 \text{ MeV}/u$ )では？

# 破碎片の運動量分布: $P_\perp$

$$\sigma_\perp^2 = \sigma_{GH}^2 + \sigma_D^2 + \sigma_C^2 + \sigma_{D\times C}$$

- 標的核による軌道偏向の寄与

$$\sigma_D = \sigma_{D0} \sqrt{\frac{A_F(A_F - 1)}{A_P(A_P - 1)}}$$

●  $E_i \sim 100 \text{ MeV/u}, {}^{16}\text{O} + \text{Trg.}$   
*Phys. Rev. Lett. 43 (1979) pp.840*

$$\sigma_{D0} \sim 200 \text{ (MeV / c)}$$

- Coulomb final state interaction*の寄与

$$\sigma_C = C_0 \sqrt{(Z_P - Z_F) \left( \frac{1}{3} + \frac{Z_P - Z_F - 1}{8} \right)}$$

●  $E_i \sim 100 \text{ MeV/u}$   
 ${}^{16}\text{O}$  or  ${}^{40}\text{Ar} + \text{Trg.}$

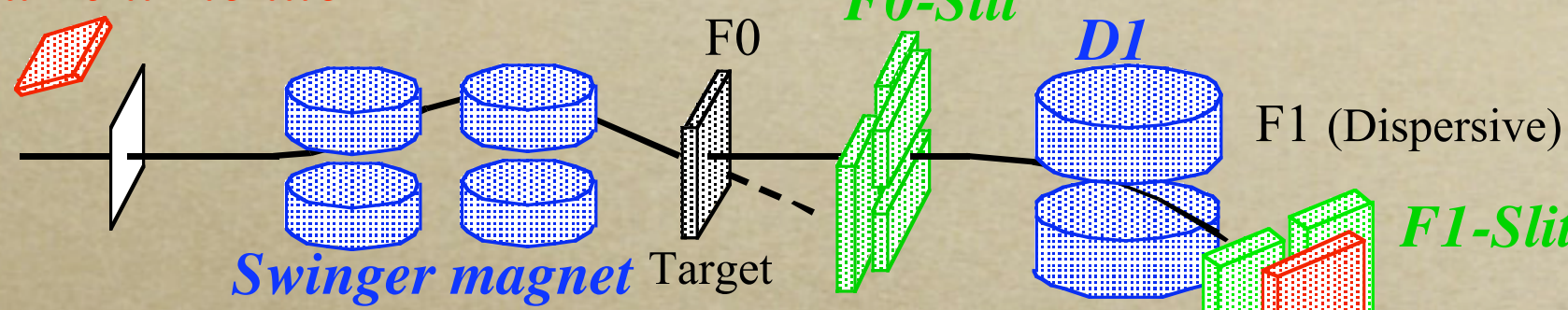
*Phys. Rev. Lett. 43 (1979) pp.840*

$$C_0^2 = 2702 \times Z_F \cdot \frac{A_F}{A_F + 1} \cdot A_P^{1/3}$$

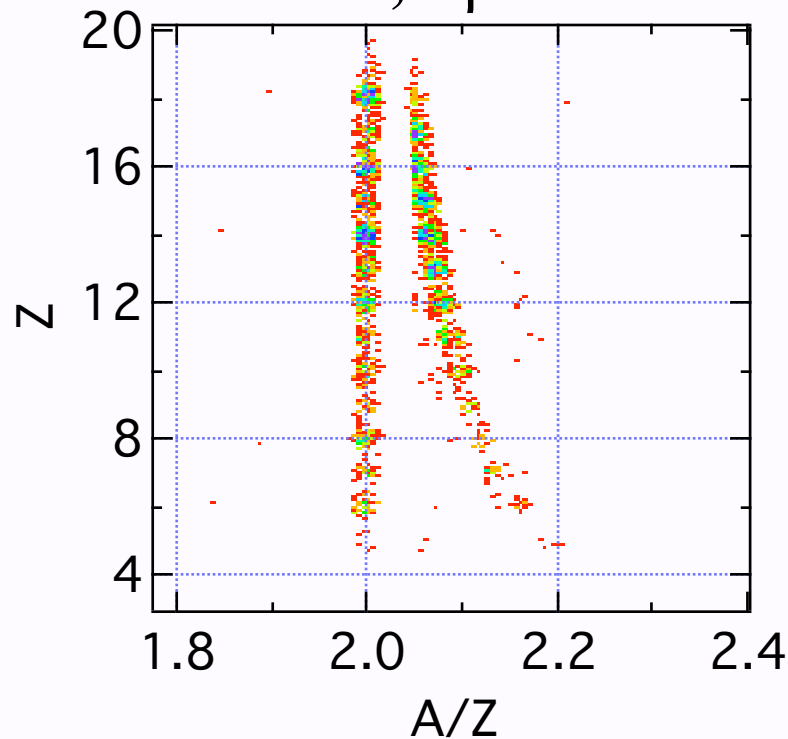
# 運動量分布の測定

放射線医学総合研究所：*HIMAC*加速器+二次ビームコース

*Beam current monitor*



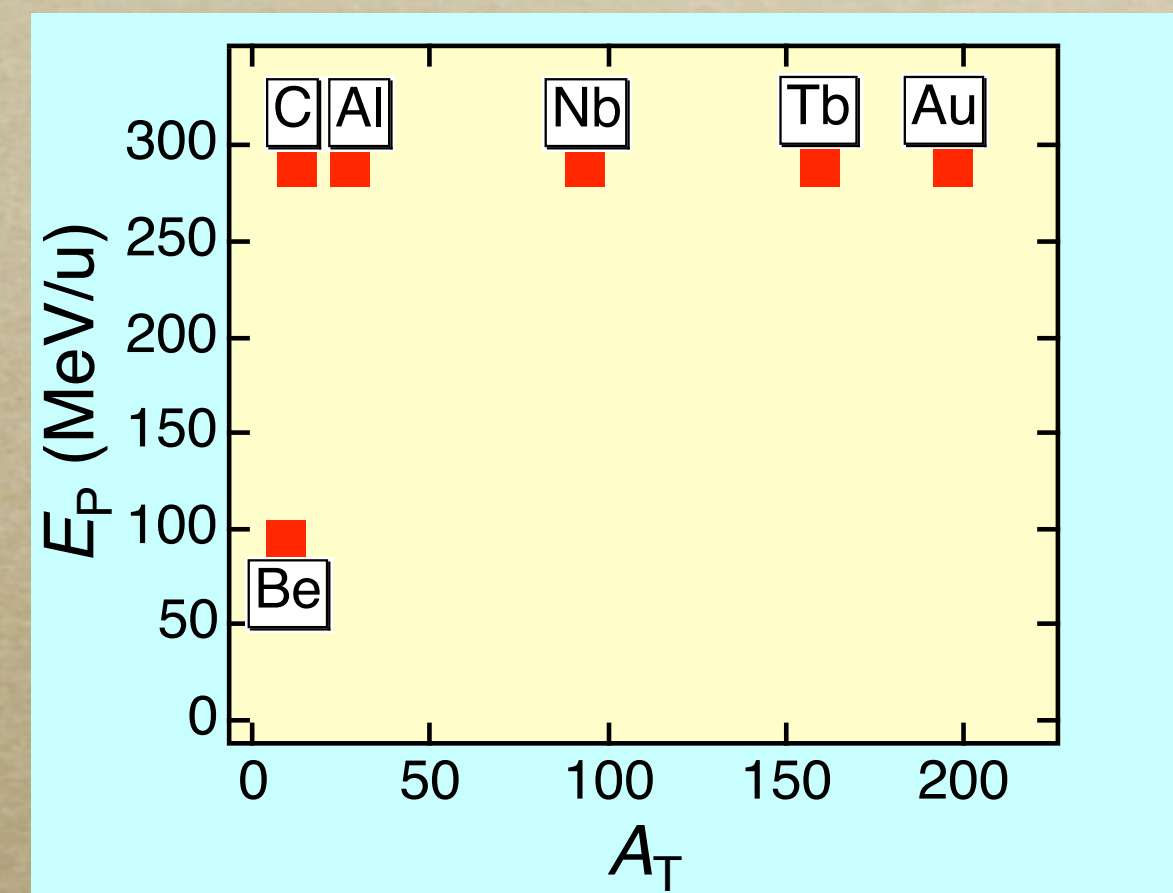
Ar + Tb,  $B\beta = 90\%$



# 反応及び測定条件

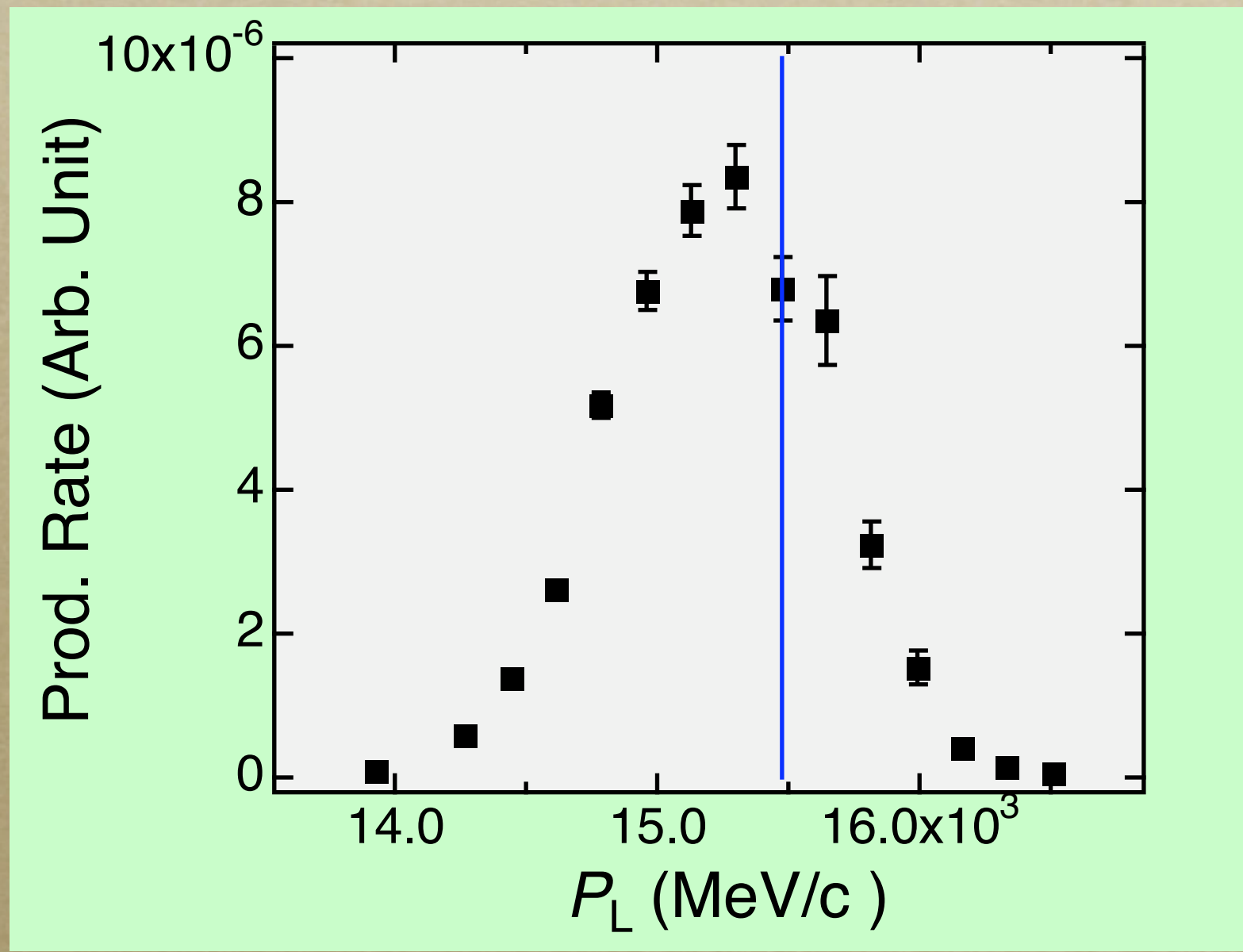
<i>Reaction</i>	$E_i$ (MeV/u)	$\sigma_E/E_0$ (%)	$\sigma_\theta/\Delta\theta$ (%)
$^{40}\text{Ar} + ^9\text{Be}$	95	0.04	6.2
$^{12}\text{C}$	290	0.03	8.0
$^{27}\text{Al}$	290	0.02	10
$^{93}\text{Nb}$	290	0.03	23
$^{159}\text{Tb}$	290	0.03	26
$^{197}\text{Au}$	290	0.04	35

Energy and angular straggling are calculated by LISE.



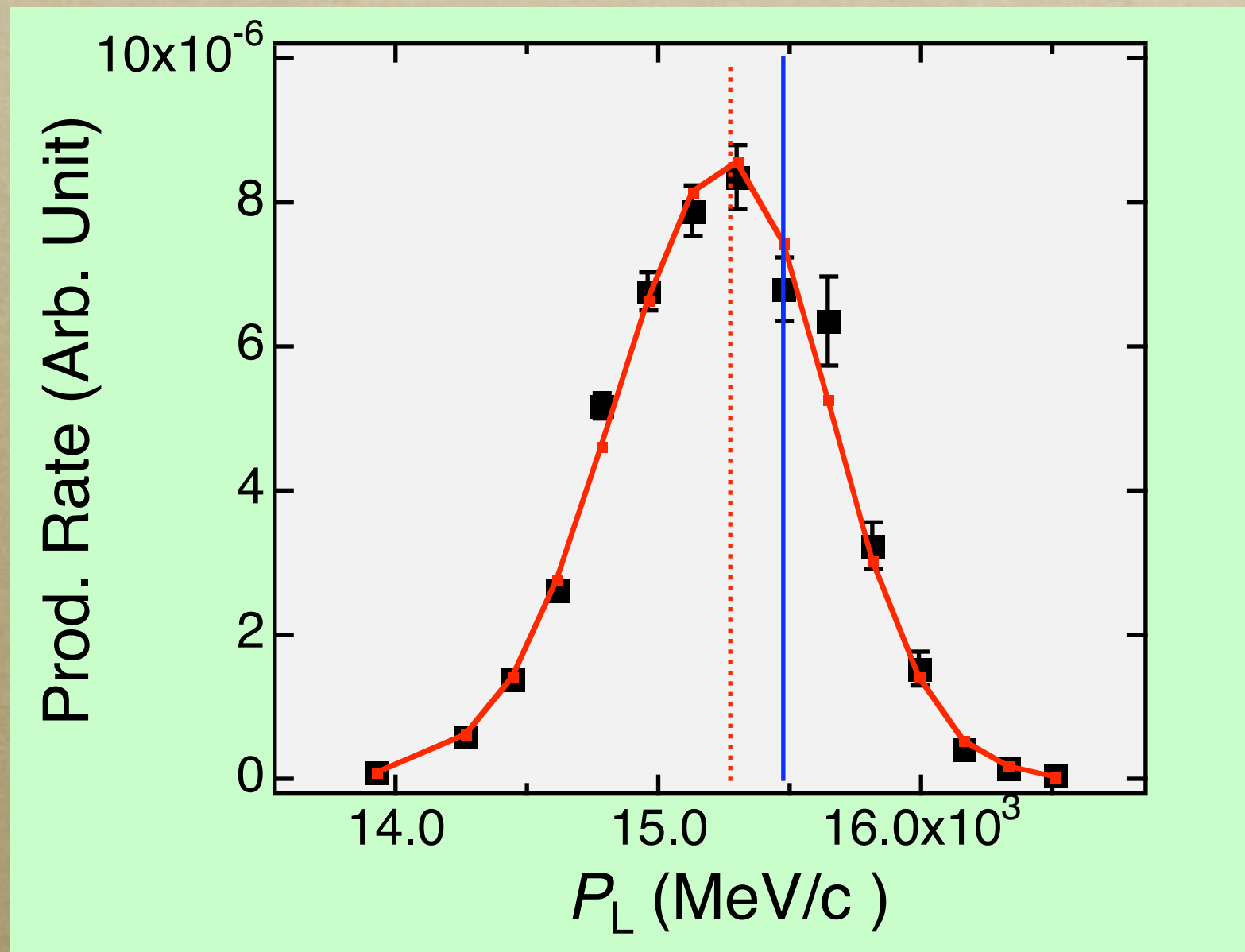
# $P_{||}$ 分布の解析

- $^{40}Ar\ (290MeV/u) + ^{93}Nb \rightarrow ^{20}Ne$



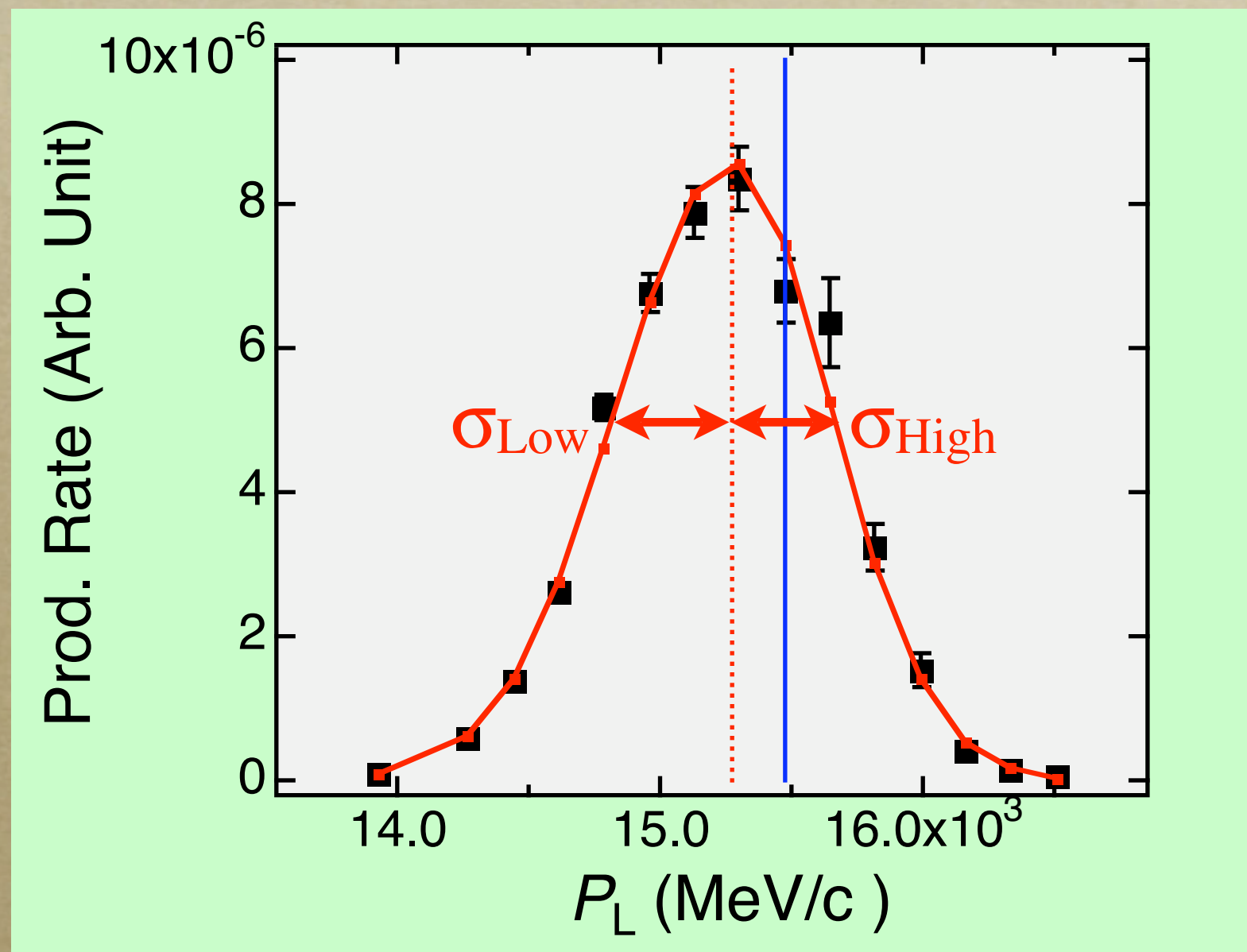
# $P_{||}$ 分布の解析

- $^{40}Ar\ (290MeV/u) + ^{93}Nb \rightarrow ^{20}Ne$



# $P_{||}$ 分布の解析

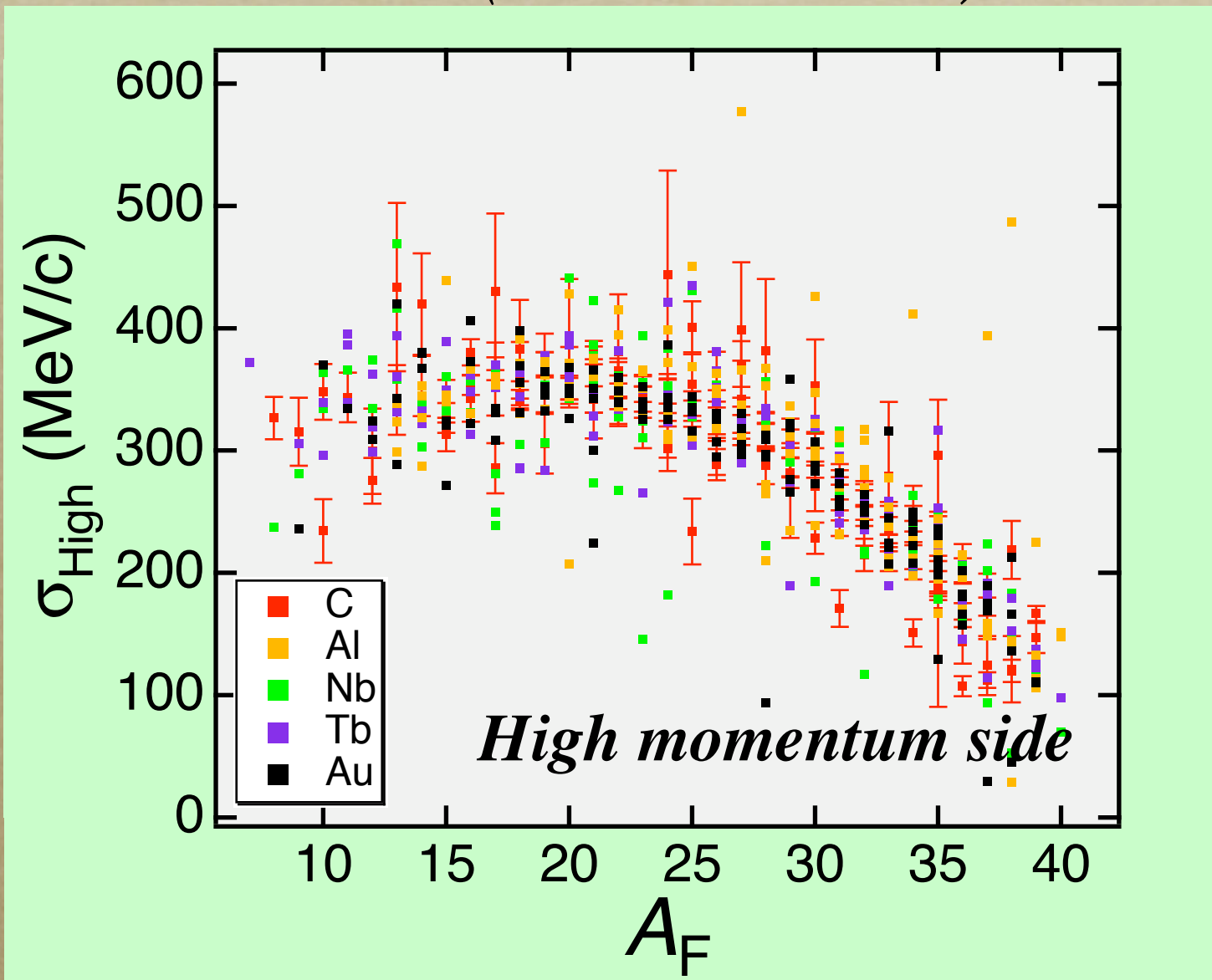
- $^{40}Ar (290MeV/u) + ^{93}Nb \rightarrow ^{20}Ne$



# $P_{//}$ 分布 : $\sigma_{\text{High}} \rightarrow \sigma_0$



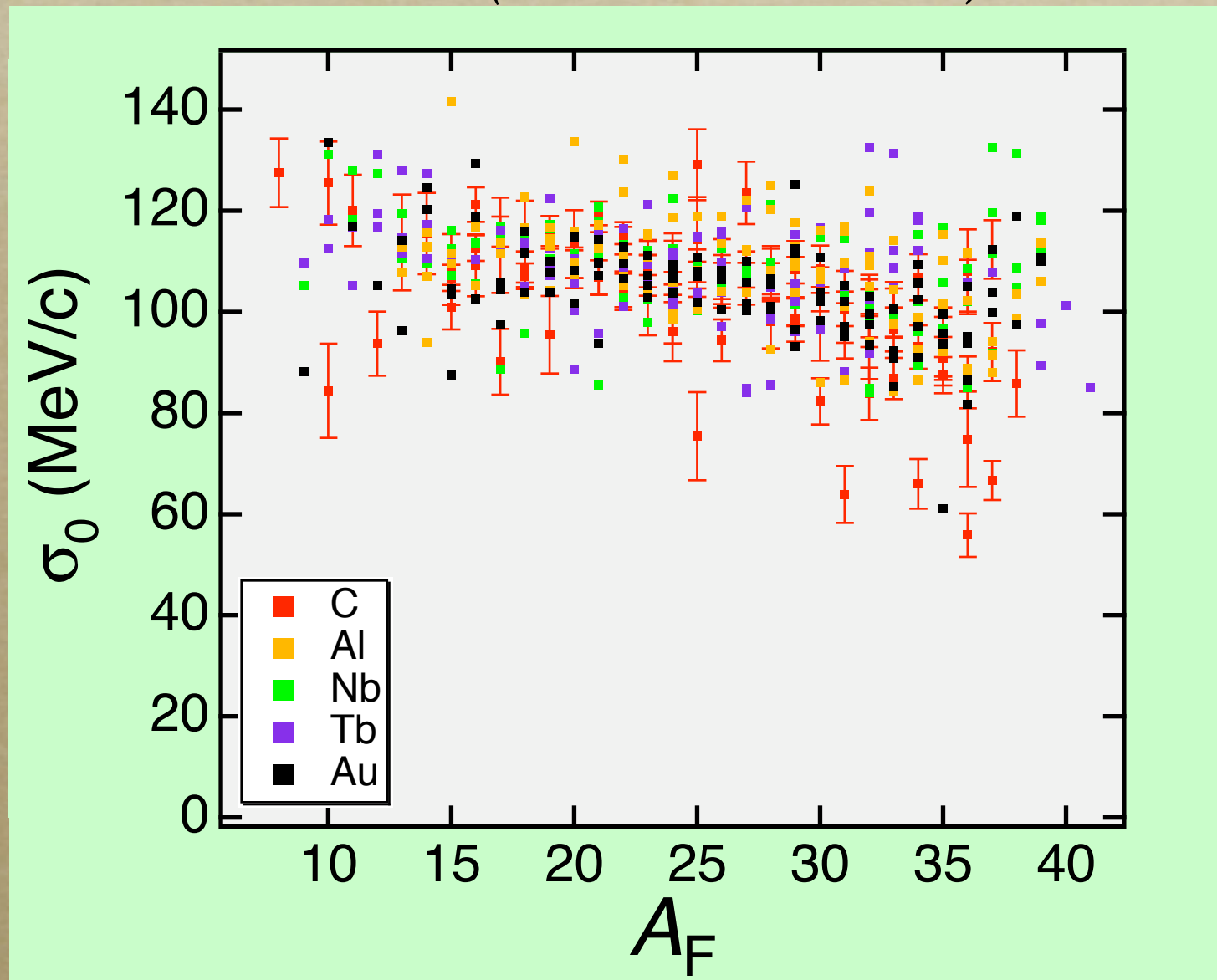
$^{40}\text{Ar} (290\text{MeV/u}) + \text{C, Al, Nb, Tb, Au}$



$$\sigma_{\text{GH}} = \sigma_0 \sqrt{\frac{A_F(A_P - A_F)}{A_P - 1}}$$

# P<sub>//</sub>分布 : $\sigma_{\text{High}} \rightarrow \sigma_0$

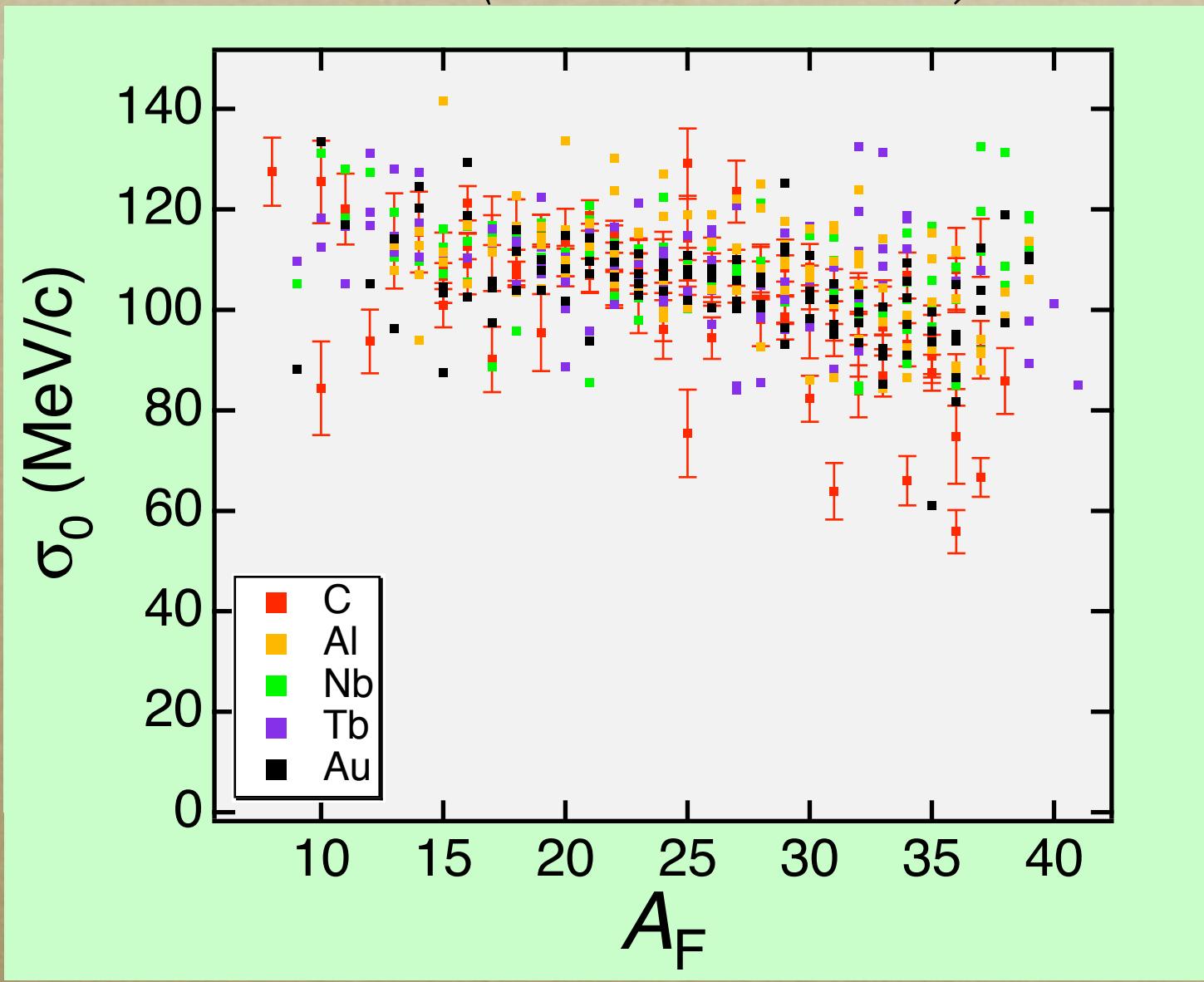
●  $^{40}\text{Ar}$  ( $290\text{MeV/u}$ ) + C, Al, Nb, Tb, Au



$$\sigma_{\text{GH}} = \sigma_0 \sqrt{\frac{A_F(A_P - A_F)}{A_P - 1}}$$

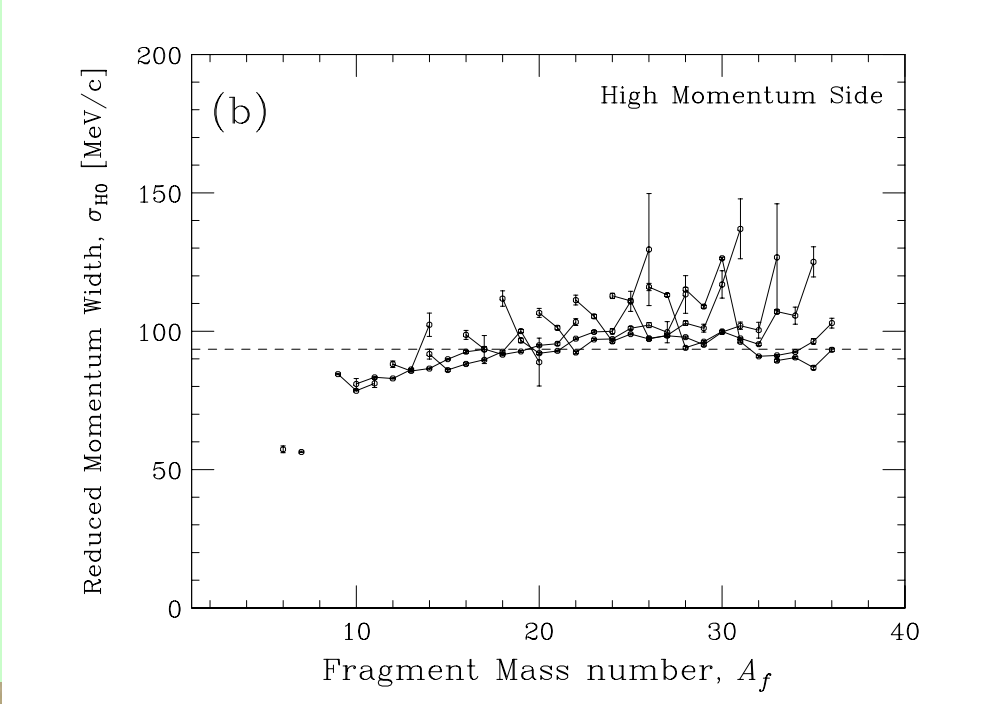
# P<sub>//</sub>分布 : $\sigma_{\text{High}} \rightarrow \sigma_0$

•  $^{40}\text{Ar} (290\text{MeV/u}) + \text{C}, \text{Al}, \text{Nb}, \text{Tb}, \text{Au}$



$$\sigma_{\text{GH}} = \sigma_0 \sqrt{\frac{A_F(A_P - A_F)}{A_P - 1}}$$

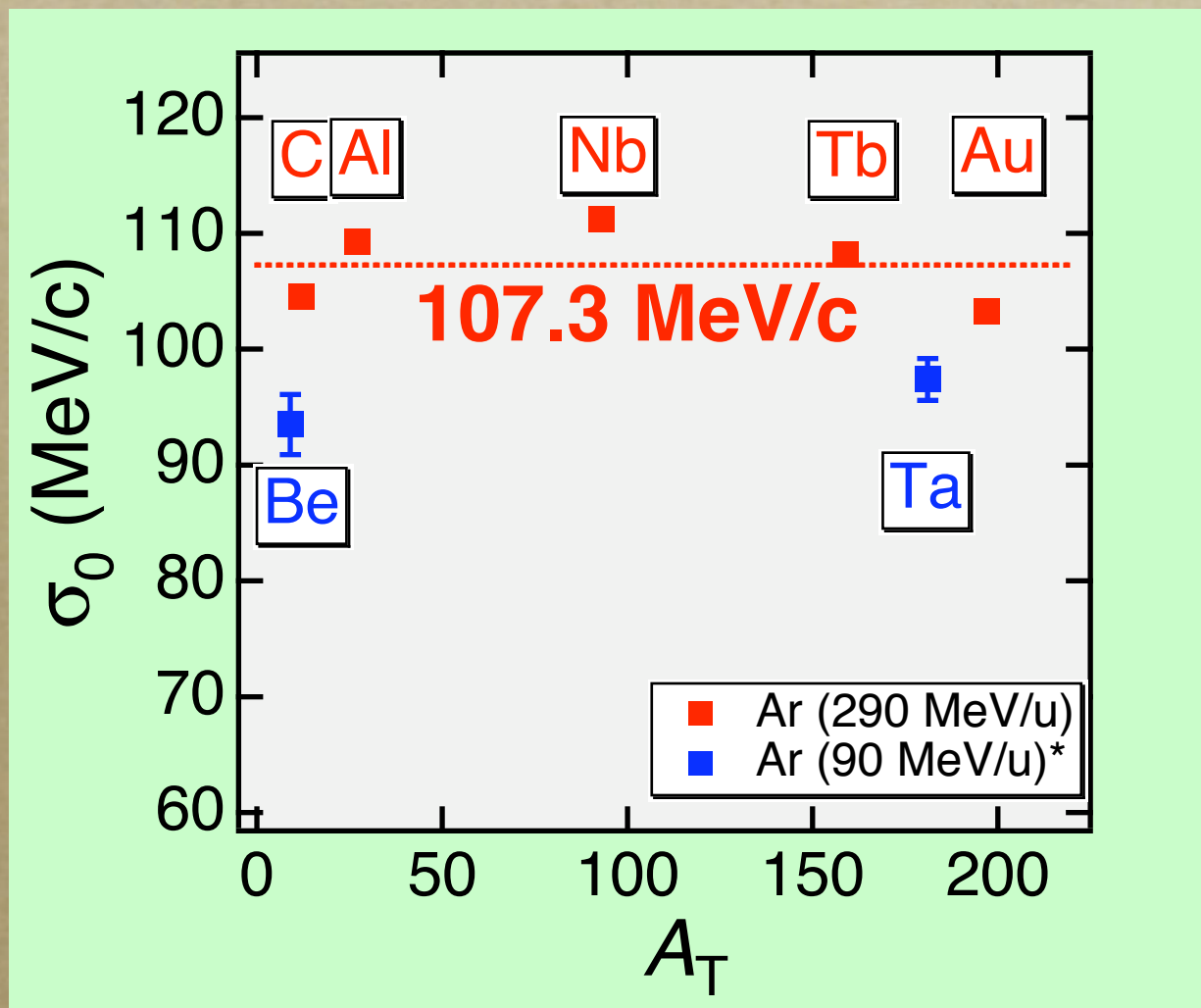
•  $^{40}\text{Ar}(90\text{MeV/u}) + \text{Be}$   
*M. Notani et al.\**



\*to be published in Phys. Rev. C

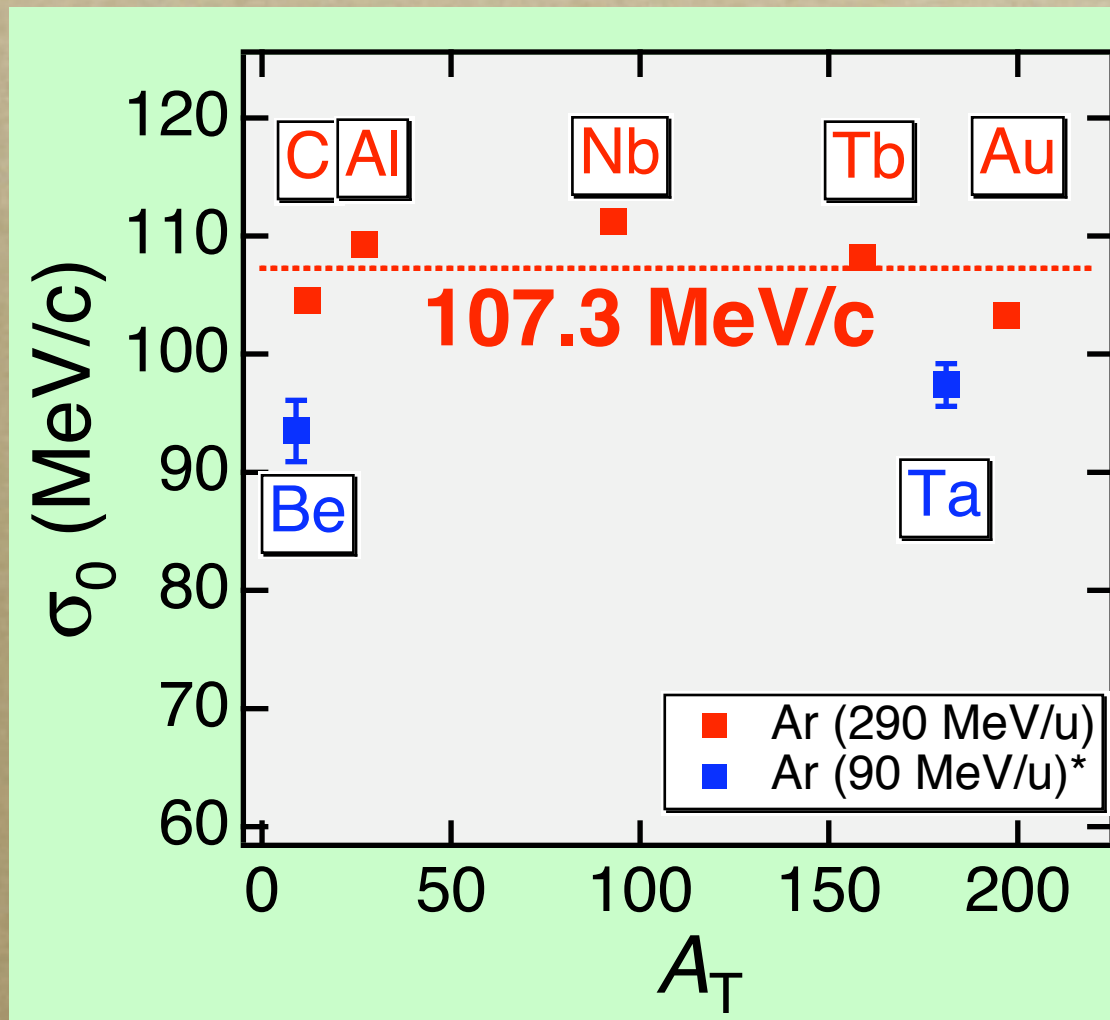
# $P_{//}$ 分布 : $\sigma_0$

- $\sigma_0$  の標的依存性

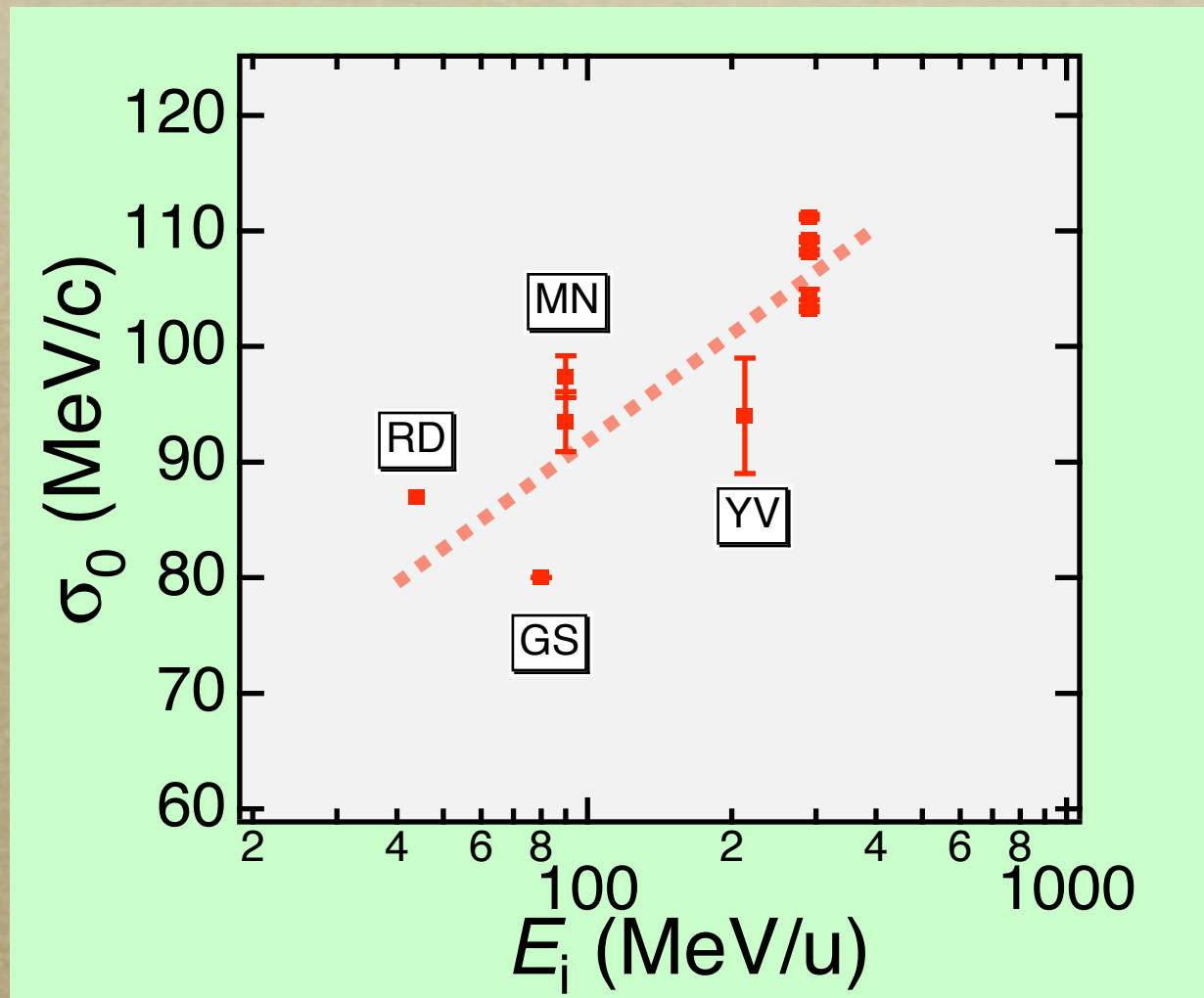


# $P_{//}$ 分布: $\sigma_0$

- $\sigma_0$ の標的依存性

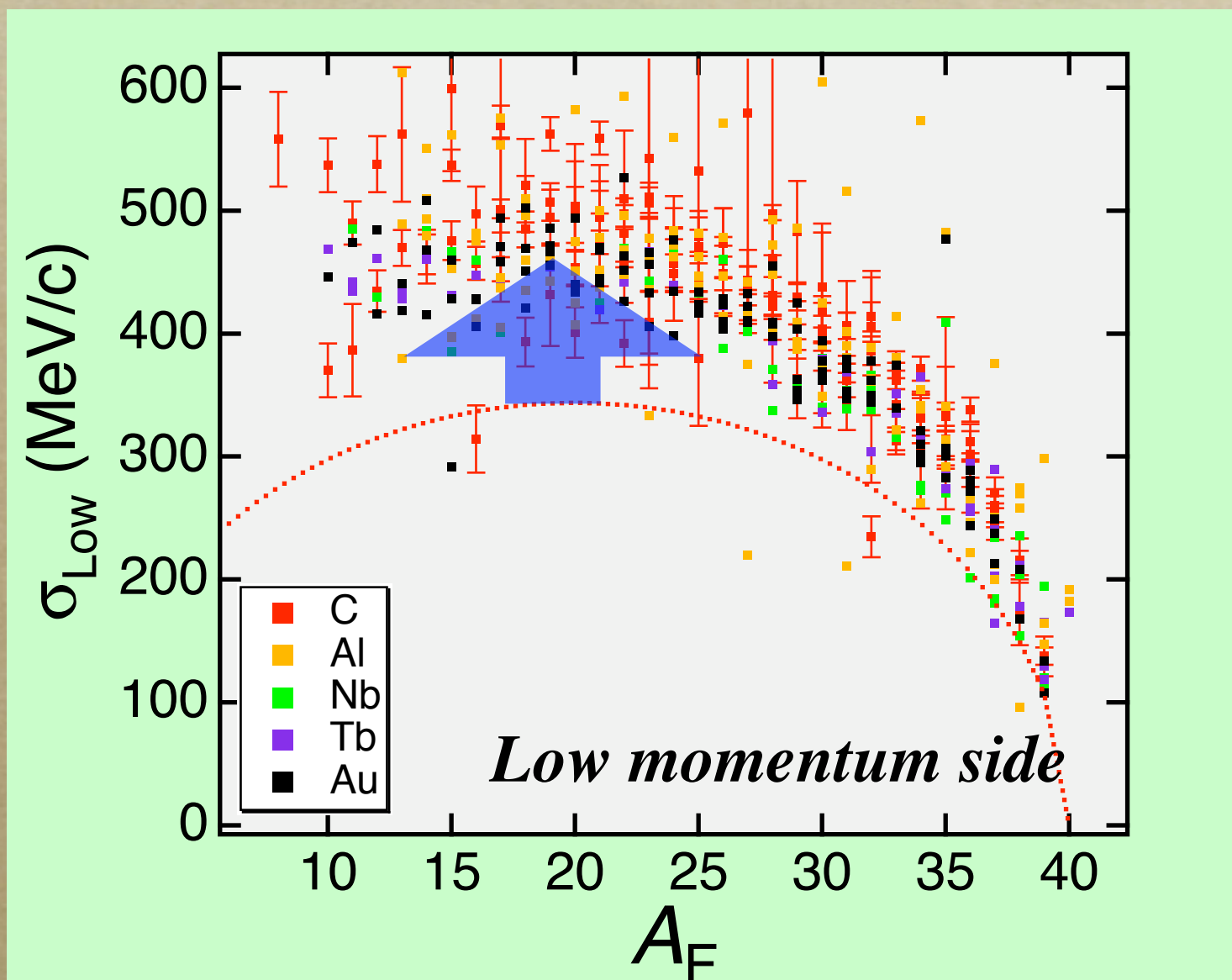


- $\sigma_0$ の $E_i$ 依存性



# $P_{//}$ 分布 : $\sigma_{\text{Low}}$

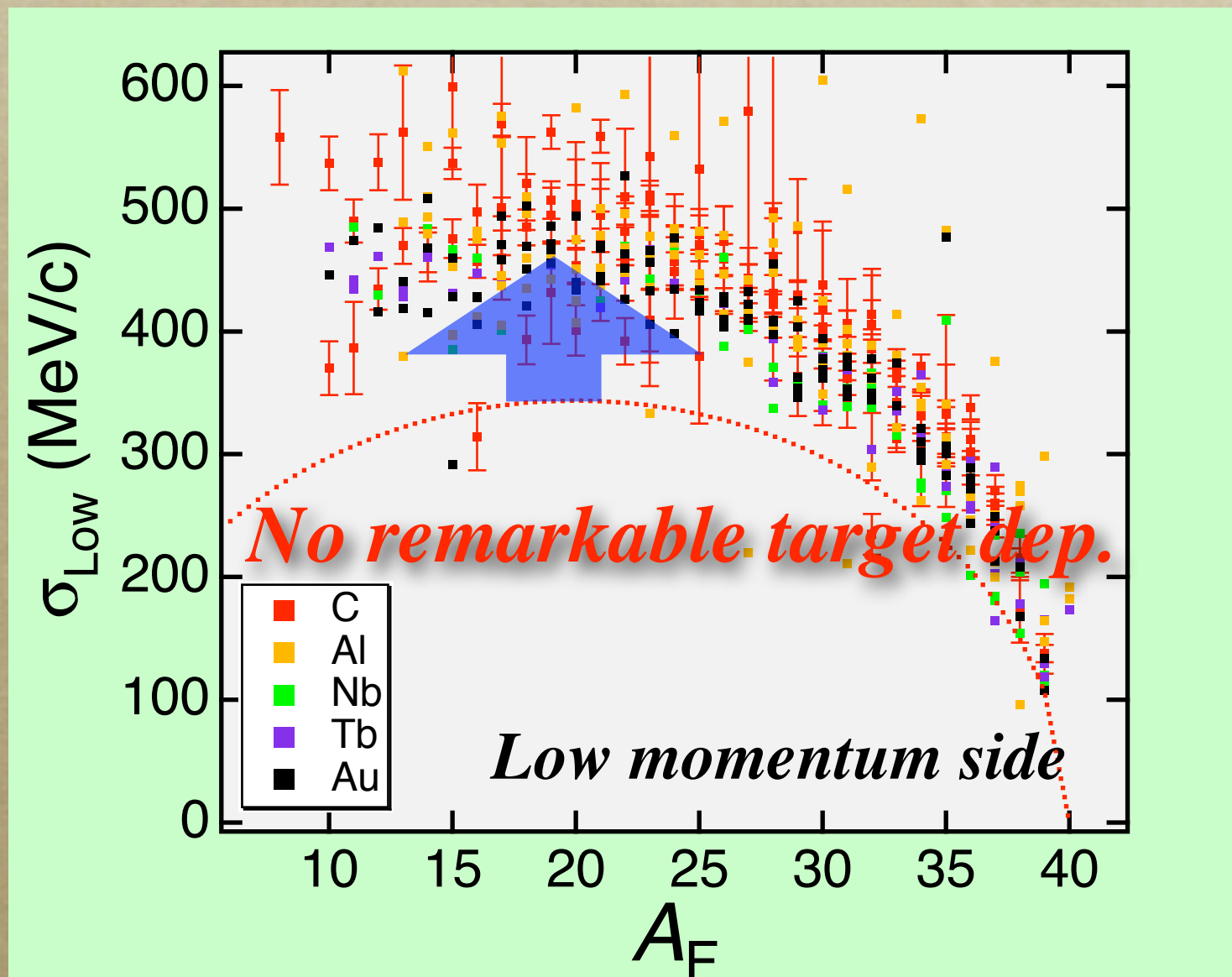
- $^{40}\text{Ar} (290\text{MeV/u}) + \text{C}, \text{Al}, \text{Nb}, \text{Tb}, \text{Au}$



$$\sigma_0 = 107.3 \text{ MeV}/c$$

# $P_{//}$ 分布 : $\sigma_{\text{Low}}$

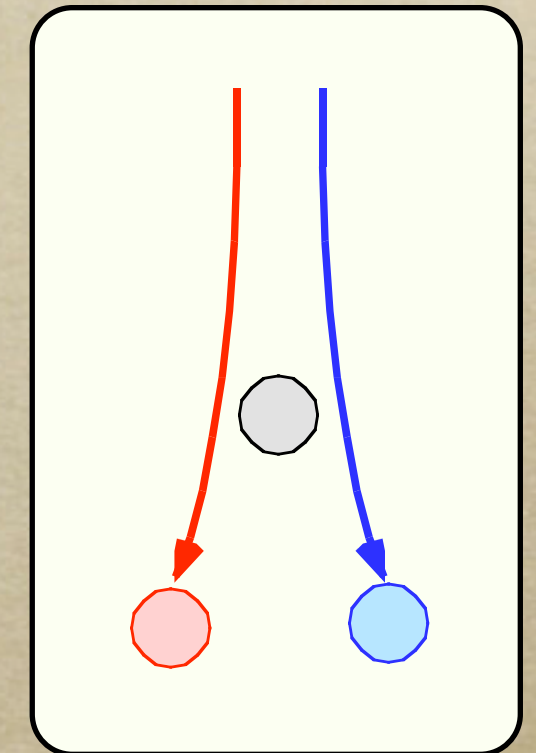
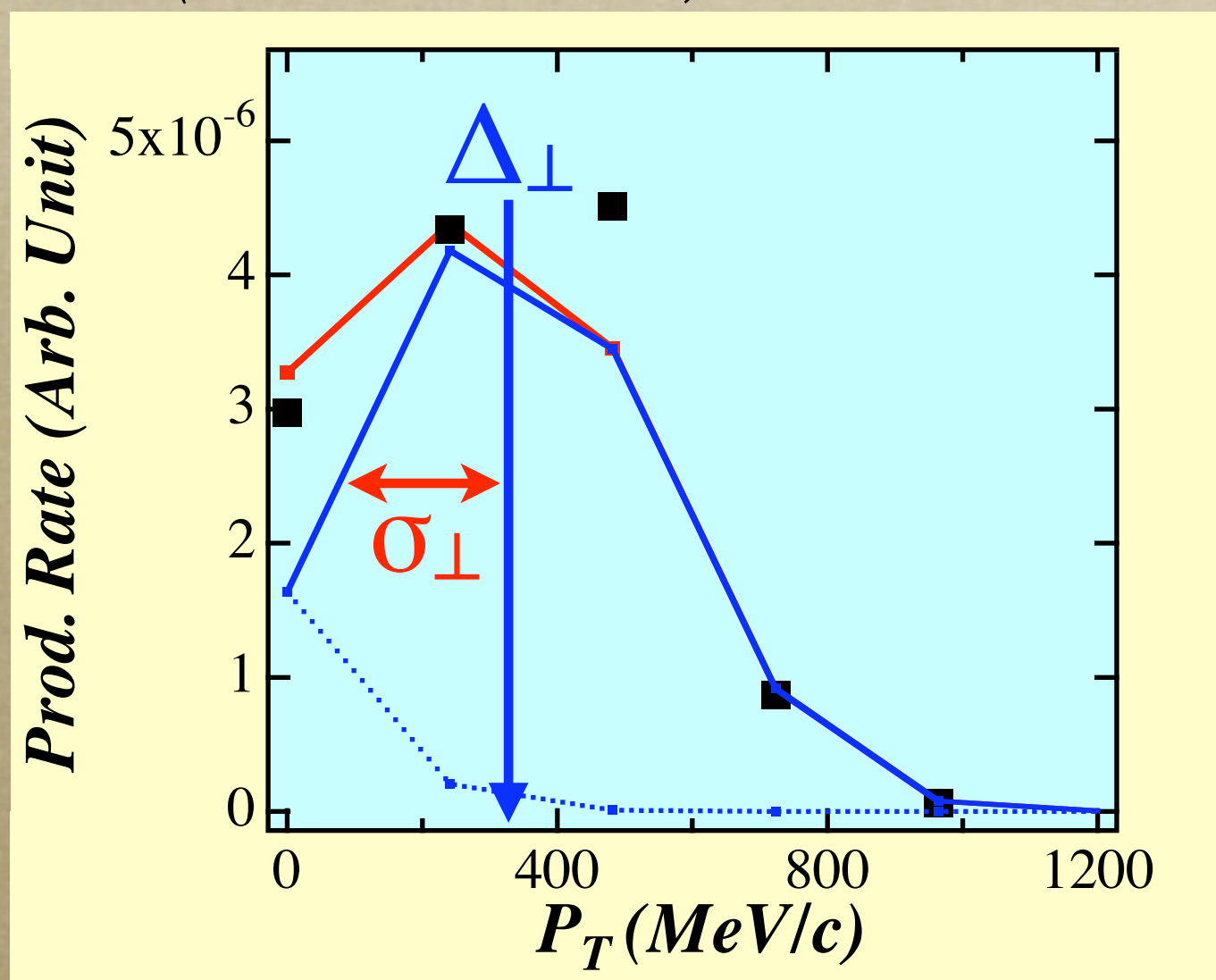
- $^{40}\text{Ar}$  ( $290\text{MeV/u}$ ) + C, Al, Nb, Tb, Au



$$\sigma_0 = 107.3 \text{ MeV/c}$$

# $P_\perp$ 分布の解析

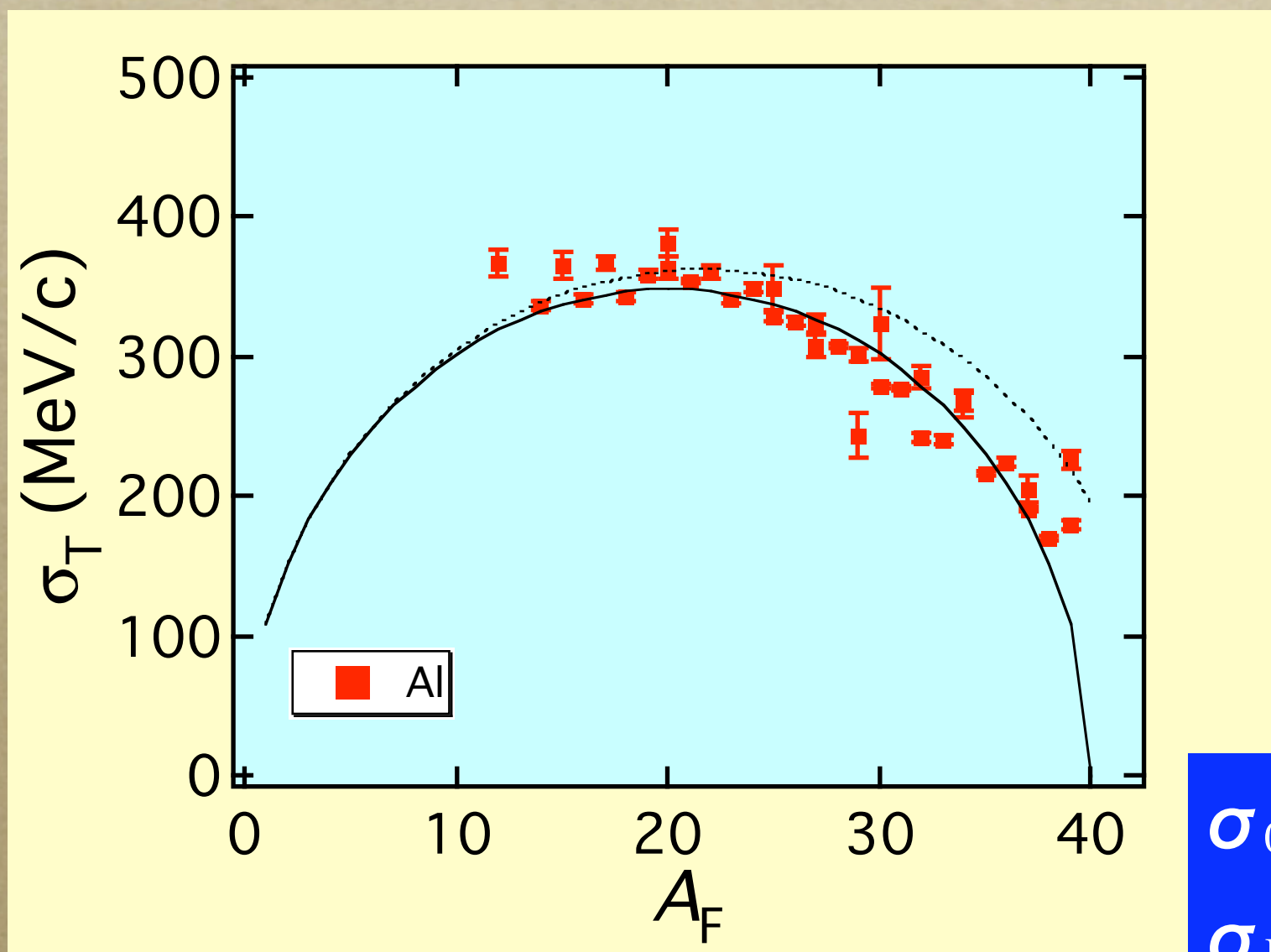
- $^{40}Ar (290MeV/u) + ^{197}Au \rightarrow ^{39}Cl$



$$Y = \int_{P_\perp^-}^{P_\perp^+} k \left\{ \exp\left(-\frac{(P_\perp - \Delta_\perp)^2}{2\sigma_\perp^2}\right) + \exp\left(-\frac{(P_\perp + \Delta_\perp)^2}{2\sigma_\perp^2}\right) \right\} dP_\perp$$

# $P_{\perp}$ 分布 : $\sigma_{\perp}$ , 290MeV/u

- $^{40}Ar$  ( $290MeV/u$ ) +  $Al$   $\rightarrow$   $Z_A$

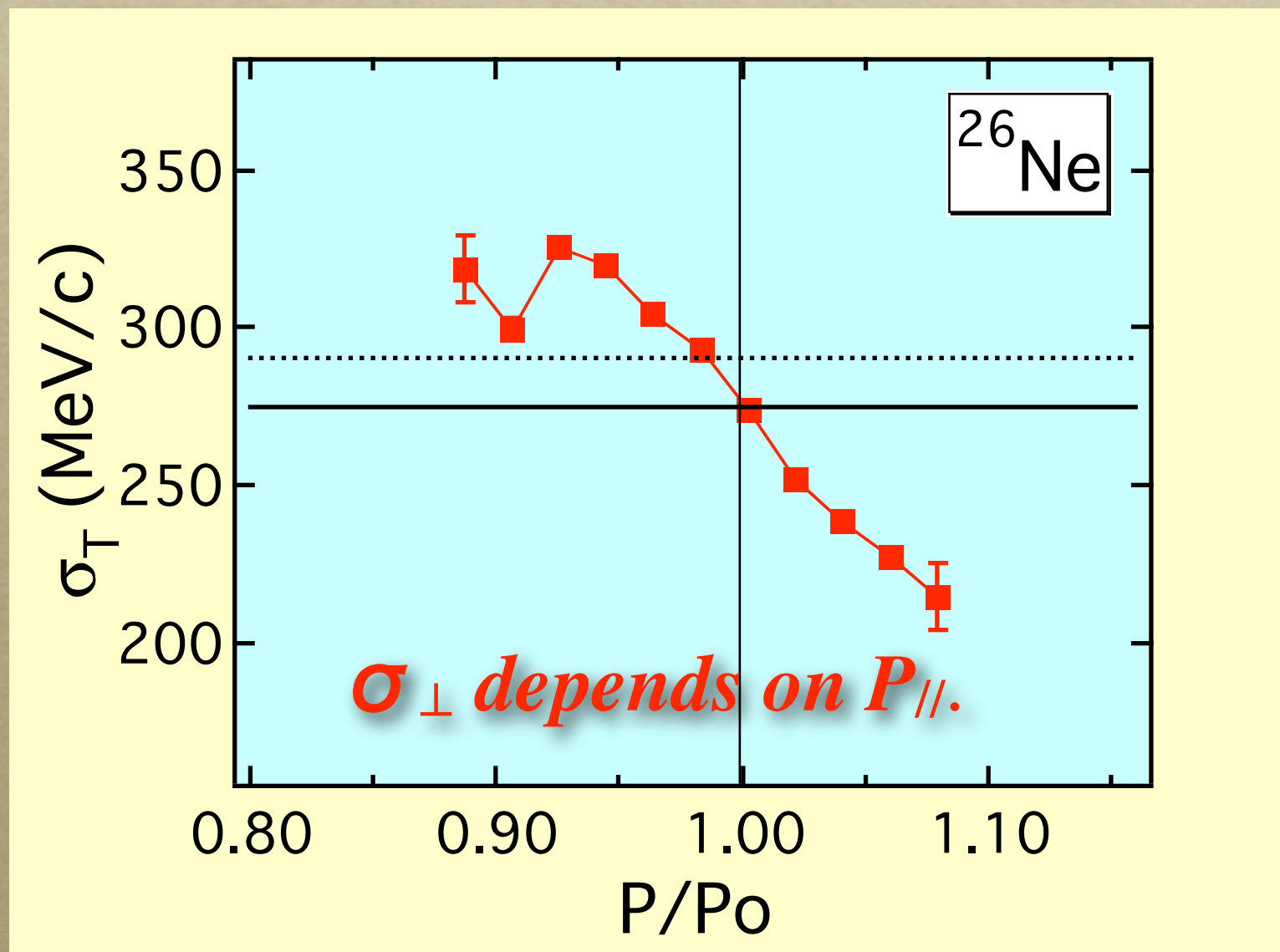


$$\sigma_0 = 107.3 \text{ MeV/c}$$

$$\sigma_{D0} = 195 \text{ MeV/c}$$

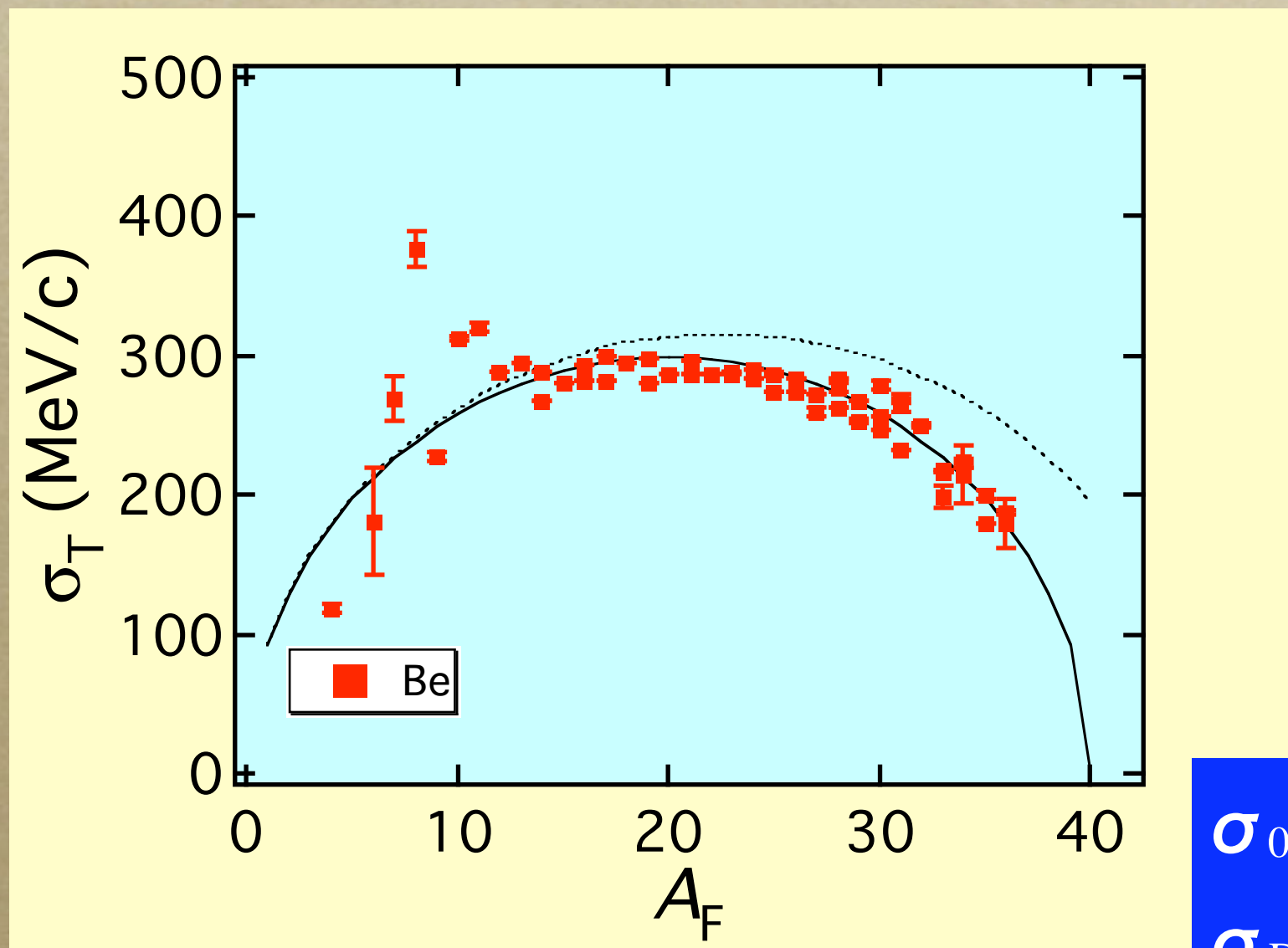
# $P_{\perp}$ 分布 : $\sigma_{\perp}$ , 95MeV/u

- $^{40}Ar$  (95MeV/u) + Be  $\rightarrow$  ZA



# $P_{\perp}$ 分布 : $\sigma_{\perp}$ , 95MeV/u

- $^{40}Ar$  (95MeV/u) + Be  $\rightarrow$  ZA



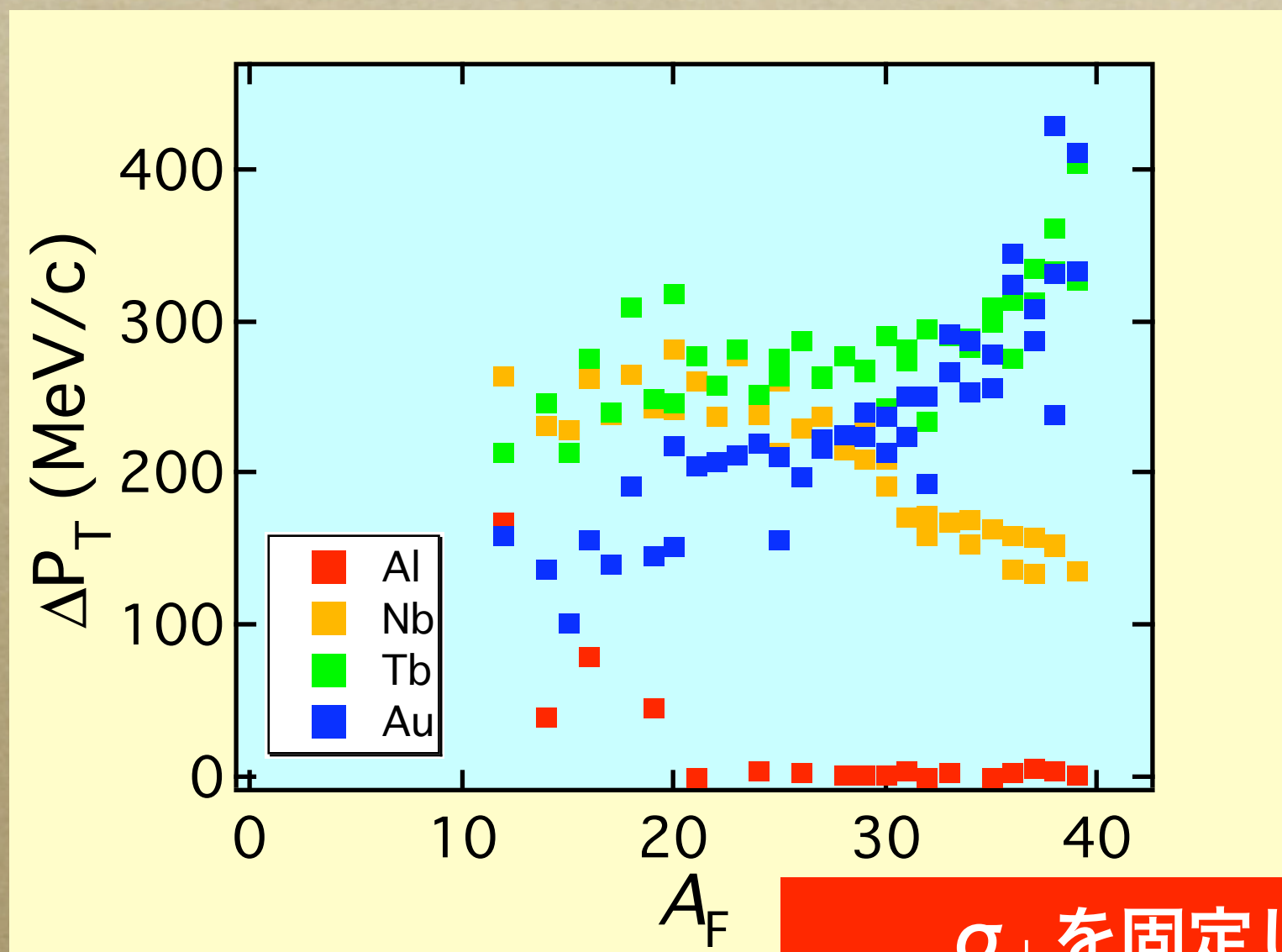
$P/P_0 \sim 1$  で測定された  $\sigma_{\perp}$

$$\sigma_0 = 93.5 \text{ MeV/c}$$

$$\sigma_{D0} = 195 \text{ MeV/c}$$

# $P_{\perp}$ 分布 : $\Delta_{\perp}$

- $^{40}Ar$  ( $290 MeV/u$ ) +  $Al, Nb, Tb, Au \rightarrow ZA$



$\sigma_{\perp}$ を固定してfitting  
( $\sigma_0 = 90$  MeV/c,  $\sigma_{D0} = 195$  MeV/c)

# 結論

---

- $P_{//} \rightarrow \sigma_{\text{Low}}, \sigma_{\text{High}}$ 
  - $\sigma_{\text{Low}} / \sigma_{\text{High}} \sim 1.3$  at 290MeV/u
  - $\sigma_{\text{Low}}, \sigma_{\text{High}}$  いずれも標的依存性なし
  - $\sigma_0 = 107.3 \text{ MeV/c}$  :  $E_i$  とともに増加

# 結論

- $P_{//} \rightarrow \sigma_{\text{Low}}, \sigma_{\text{High}}$ 
  - $\sigma_{\text{Low}} / \sigma_{\text{High}} \sim 1.3$  at 290MeV/u
  - $\sigma_{\text{Low}}, \sigma_{\text{High}}$  いずれも標的依存性なし
  - $\sigma_0 = 107.3 \text{ MeV/c}$  :  $E_i$  とともに増加
- $P_{\perp} \rightarrow \sigma_{\perp}$ 
  - $Be(95 \text{ MeV/u}), Al(290 \text{ MeV/u})$  標的では  $\sigma_{\perp} \sim \sigma_{//}$   
 $\sigma_D, \sigma_C$  の寄与が小さい
  - クーロン力による偏向 → 標的に依存
  - $Nb, Tb, Au$  標的での  $\sigma_D, \sigma_C$  の寄与は？